

## III-165 摩擦型グランドアンカーの摩擦抵抗成分について

神戸大学工学部 正会員 軽部大蔵  
 神戸大学大学院 学生会員 ○椎名教之  
 同 砂山浩紀

三軸試験機を図-1のように改造して、摩擦型アンカーの引抜き機構を調べてきた<sup>1)~3)</sup>。アンカーは、直径  $d_a = 15\text{mm}$  の滑らかなステンレス丸棒であつて、特に図中のA～Eは、長さ各5cmの軸力測定部材である。アンカーの任意の部分にサンドペーパーを巻き付けて接着し、定着部とした。定着部以外ではステンレス面が土供試体 ( $\phi 10\text{cm} \times H 20\text{cm}$ ) に直接接触しているが、両者間の摩擦は小さいので、引張り部と見なせる。アンカーは、土供試体、キャップ及びピストンの中心を通っている。アンカーの引き上げに伴うキャップの浮上がりは、ピストンをセル外部で固定して(反力をRとする)阻止した。

今回の試験は、気乾豊浦砂を試料とし、定着部を試料の粒度に合わせて、No.100のサンドペーパーで形成した。供試体を排気状態にして、側圧  $\sigma_3 = 0.8 \text{ or } 1.5\text{kgf/cm}^2$  を作用させ、毎分0.4mmのひずみ制御でアンカーを引き抜いた。表-1は、供試体の初期密度  $\rho_{d0} \approx 1.59\text{g/cm}^3$  で行った試験の条件を示している。この外に、 $\rho_{d0}$  をかえた試験及び気乾状態のままの豊浦砂の三軸圧縮試験(CD及び定体積)を行った。

定着部の摩擦応力

図-2 aはb)に示すように部材EとDを定着部とした場合のアンカーの引抜量と軸力の関係の測定例である。図中、たとえば  $T_E$  は部材EとDの連結部の軸力を表している。各部材の軸力  $T_i$  がピークに達する引抜量は部材ごとにずれているが、以下の解析は、 $T_A$  のピークにおける各  $T_i$  を対象としている。表-2の  $T_A$  と  $T_E$  は、表-1に示したシリーズの測定値の一部である。

ところで、図-2 b)のように部材Dも定着部である場合は、下位の部材Eには支圧力は作用しないから、 $T_E$  は側面摩擦力と押上げ力  $Q'$  (文献2) で占められている。したがって部材Eに作用する摩擦応力  $\tau$  は次式で算定できるであろう。

$$\tau = (T_E + Q') / (\pi d \times 5\text{cm}) \quad (1)$$

$$\text{ただし、} Q' = (\pi/4) (d^2 - d_a^2) K_A \sigma_3 \quad (2)$$

ここに、 $K_A$ : 主働土圧係数(CD三軸試験により  $K_A \approx 0.23$ )、 $d$ : 定着部直径。(今回の試験では、 $Q' = 0.06 \sim 0.39\text{kgf}$  と小さい。)

表-2の最右欄および図-3は、 $(\tau / \sigma_3)$  を示しているが、 $d$  と  $\sigma_3$  の両方に影響されるようである。

三軸圧縮試験

試料土を気乾状態のままで三軸圧縮試験した。供試体 ( $\phi 5\text{cm} \times H 9\text{cm}$ ) の体積変化を測定する方法は、排水(気)口に接続したビューレットを水中に倒立させ、その内外水位を手動で一致させるものである。図-4は、CD試験の破壊応力である。 $\phi_a \approx 39^\circ$ 、 $\phi_{dr} \approx 30^\circ$  が得られた。図-5は、定体積試験の応力経路である。試験中は、ビューレットの内外水位が圧密終了時の値を保つように、セル圧  $\sigma_3$  を手動で調節した。したがって、 $\sigma_3$  の変動に伴うゴムスリーブの貫入量の変化を無視したことになる。豊浦砂の粒子は硬いので、通常の三軸試験の応力範囲では、

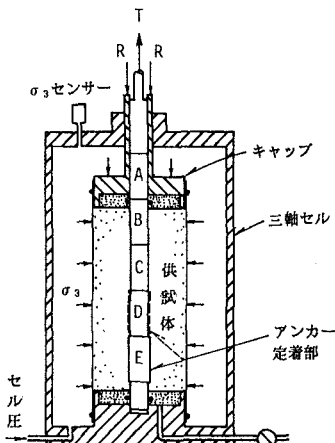


図-1 アンカーワイヤー試験装置

表-1 アンカーワイヤー試験の条件と試験個数

定着長 $l$	定着部直径 $d$ (cm)		
	1.633	1.773	1.918
5cm E	SS-08(7) SS-15(5)	SM-08(6) SM-15(3)	SL-08(3) SL-15(3)
	—	—	—
7.5cm E + D/2	MS-08(3)	—	—
	—	—	—
10cm E + D	LS-08(7) LS-15(4)	LM-08(6) LM-15(4)	—
	—	—	—

上段  $\sigma_3=0.8$ 、下段  $1.5\text{kgf/cm}^2$ 、()試験個数

応力経路は直線的に上昇し続けるものと思われる。応力経路の傾きを $\phi$ に換算すると、 $\phi = 33^\circ \sim 36^\circ$ であり、CD試験の2つの破壊線(図-4)の間に位置している。

#### 定着部周辺の応力状態

アンカー引抜試験終了後の土供試体は、外形が全く変化していないので、せん断は、図-6の想像図のように薄いせん断層内で進行するものと考えられる。せん断層がせん断により $u_a$ だけ膨張しようとすると、せん断層の外側に接するリング状の供試体部分の内圧 $p_a$ が増加する。 $u_a$ と $p_a$ の関係は、リング状部分が等方弾性体であれば、次式で与えられる。

$$u_a = \frac{1}{E(b^2 - a^2)} \left\{ (1-\nu) (p_a a^2 - \sigma_3 b^2) a - (1+\nu) a b^2 (\sigma_3 - p_a) \right\} \quad (3)$$

したがって、供試体の構成式が与えられると、アンカー引抜試験の結果からせん断層の厚さを逆算できることになる。

参考文献 1) 第23回土質工学研究発表会 No.625、  
2) 同 24回 No.546、3) 同 25回投稿中

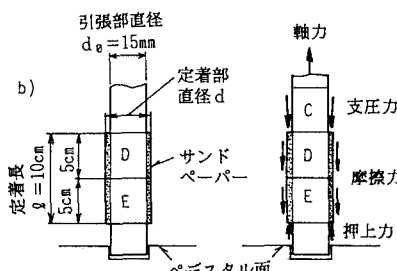
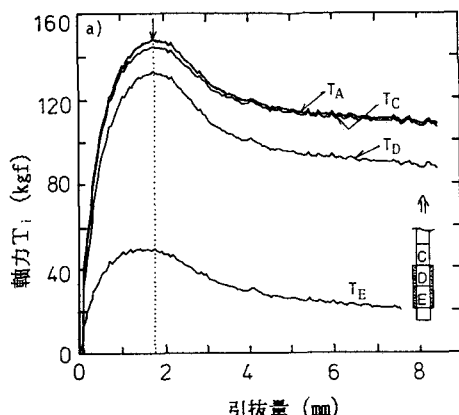


図-2 アンカー試験例(LM-08-1)  
a) 軸力 b) 用語の定義

表-2 軸力及び摩擦応力

シリーズ	$T_a$ (kgf)	$T_e$ (kgf)	$\frac{\tau}{\sigma_3}$
MS-08	114.91	54.31	2.72
LS-08	138.28	53.59	2.61
LS-15	244.52	99.68	2.61
LM-08	149.66	50.11	2.26
LM-15	268.44	88.38	2.13

図-3 摩擦応力の要因

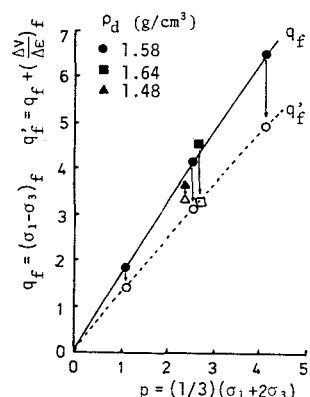
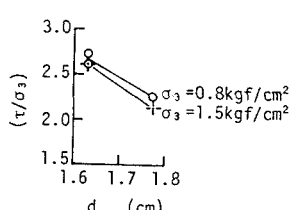


図-4 CD試験の破壊応力

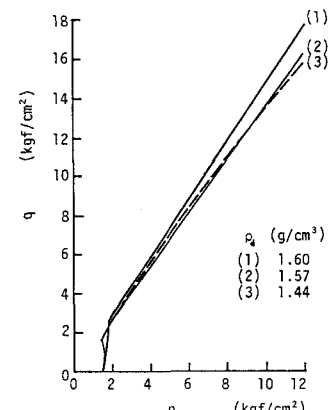


図-5 定体積試験の応力経路

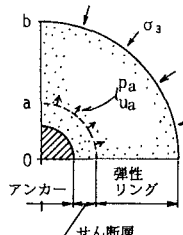


図-6 アンカー周辺の様子